

# Actualización Bibliográfica

Esta sección está organizada por el Programa de Tumores Familiares y Hereditarios (PROCAFA) y se desarrolla en el contexto de los ateneos mensuales de la Red Argentina de Cáncer Familiar (RACAF), con el objetivo de realizar revisiones de temas de interés para la práctica diaria.

Asimismo, este material se encuentra disponible en los boletines mensuales difundidos por el PROCAFA y en formato de publicación breve en la página web del INC.

# Tumores Renales como parte de Síndromes

Alejandra Mampel  
Especialista en Genética Médica

Hospital Universitario e Instituto de Genética  
Universidad Nacional de Cuyo  
Centro de Integración Regional ( COIR)

9 de agosto 2019

# Conceptos generales

|   |
|---|
| <p><b>Cáncer Renal</b> → frecuencia incidente <b>4%</b> (IARC 2018) / <b>30%</b> agregación familiar / <b>6%</b> hereditarios</p>   |
| <p><b>Sospecha CRH</b> → Inicio temprano (Dx. <b>≤ 45</b> años) / Bilateralidad / Multicentricidad / Antecedentes familiares</p>  |
| <p><b>Tipos histológicos</b> (<i>tanto esporádicos como hereditarios</i>) → <b>frecuencias</b></p> <ul style="list-style-type: none"><li>▪ Células claras → <b>75%</b></li><li>▪ Papilar tipo 1 → <b>5%</b></li><li>▪ Papilar tipo 2 → <b>10%</b></li><li>▪ Cromófobo → <b>5%</b></li><li>▪ Oncocitoma → <b>5%</b></li></ul>  |
| <p><b>Síndromes hereditarios /gen</b> → <b>tipos histológicos más frecuentes / riesgos (penetrancia CRH)</b></p> <ul style="list-style-type: none"><li>▪ Von Hippel Lindau / VHL → células claras / <b>40-70%</b></li><li>▪ Papilar renal hereditario tipo 1 / MET → papilar tipo 1 / <b>muy elevado no cuantificado</b></li><li>▪ Papilar renal hereditario tipo 2 (leiomiomatosis hereditaria) / FH → papilar tipo 2 / <b>15%</b></li><li>▪ Birt-Hogg-Dubé / FLCN → cromófobo y oncocitoma / <b>25%</b></li><li>▪ Translocaciones cromosoma 3 → células claras / <b>70%</b></li><li>▪ PTEN Hamartoma / PTEN → células claras y papilar / <b>10-35%</b></li><li>▪ Feocromocitoma-Paraganglioma / SDHB, SDHD, SDHC, SDHA → tipos diversos / <b>10-15%</b></li><li>▪ Síndrome de BAP1 / BAP1 → células claras / <b>aumentado no cuantificado</b></li></ul> |
| <p>La mayoría de los síndromes de CRH presentan fenotipo característico asociado en otros órganos</p>   |
| <p><b>Paneles multigenéticos convencionales</b> CRH incluyen → VHL, MET, FLCN, FH, SDHB/C/D, TCS, PTEN y BAP1</p>   |
| <p><b>Otros genes</b> hallados en pacientes con CR estudiados por paneles multigenéticos → CHEK2, APC, MUTYH, ATM, BRCA2, MSH6, EPCAM y BARD1.</p>  |
| <p>Importante recordar CR como parte del espectro de otros síndromes → <b>Lynch, Esclerosis tuberosa, Li Fraumeni, etc.</b></p>   |
| <p><b>Cáncer renal familiar</b> → Edad temprana / &gt;2 casos / sin criterios de síndrome / evaluar con panel multigenético / riesgo elevado empírico / manejo empírico según riesgo</p>  |
| <p><b>Utilidad estudios moleculares</b> → Pronóstico / vigilancia de alto riesgo / implicancias familiares (portadores y verdaderos negativos) / <b>NO aún tratamientos específicos (futuro → inmunoterapia)</b></p>  |

# Distribución absoluta y relativa de casos incidentes de cáncer estimados por la IARC para Argentina en 2018 según localizaciones tumorales más frecuentes y sexo

<https://www.argentina.gob.ar/salud/inc>

Maher, E. World Journal of Urology (2018) 36:1891–1898

| SITIO TUMORAL        | AMBOS SEXOS |       | VARONES |       | MUJERES |       |
|----------------------|-------------|-------|---------|-------|---------|-------|
|                      | Casos       | %     | Casos   | %     | Casos   | %     |
| Mama                 | 21558       | 17,2  | -       | -     | 21538   | 32,6  |
| Colon-recto          | 15692       | 12,6  | 8527    | 14,5  | 7165    | 10,8  |
| Próstata             | 11600       | 9,3   | 11600   | 19,7  | -       | -     |
| Pulmón               | 11595       | 9,3   | 7111    | 12,1  | 4484    | 6,8   |
| Riñon                | 4889        | 3,9   | 3165    | 5,4   | 1724    | 2,6   |
| Pancreas             | 4878        | 3,9   | 2302    | 3,9   | 2576    | 3,9   |
| Cervix               | 4484        | 3,6   | -       | -     | 4484    | 6,8   |
| Estómago             | 3980        | 3,2   | 2536    | 4,3   | 1444    | 2,2   |
| Vejiga               | 3631        | 2,9   | 2789    | 4,7   | 842     | 1,3   |
| Tiroídes             | 3482        | 2,8   | 467     | 0,8   | 3015    | 4,6   |
| Linfoma No-Hodgkin   | 3405        | 2,7   | 1938    | 3,3   | 1467    | 2,2   |
| Encéfalo y otros SNC | 3001        | 2,4   | 1587    | 2,7   | 1414    | 2,1   |
| Leucemias            | 2934        | 2,3   | 1569    | 2,7   | 1365    | 2,1   |
| Cuerpo de útero      | 2412        | 1,9   | -       | -     | 2412    | 3,6   |
| Hígado               | 2343        | 1,9   | 1364    | 2,3   | 979     | 1,5   |
| Ovario               | 2330        | 1,9   | -       | -     | 2330    | 3,5   |
| Esófago              | 2299        | 1,8   | 1505    | 2,6   | 794     | 1,2   |
| Otros                | 12224       | 9,8   | 8103    | 13,8  | 4121    | 6,2   |
| Total                | 125014      | 100,0 | 58883   | 100,0 | 66131   | 100,0 |

Kelly L. Stratton, Urol Oncol. Authorn2017

available at [www.sciencedirect.com](http://www.sciencedirect.com)  
journal homepage: [www.europeanurology.com](http://www.europeanurology.com)



## Platinum Priority – Guidelines

*Editorial by Rodolfo Montironi, Liang Cheng, Marina Scarpelli and Antonio Lopez-Beltran on pp. 120–123 of this issue*

# The 2016 WHO Classification of Tumours of the Urinary System and Male Genital Organs—Part A: Renal, Penile, and Testicular Tumours

Holger Moch<sup>a,\*</sup>, Antonio L. Cubilla<sup>b</sup>, Peter A. Humphrey<sup>c</sup>,  
Victor E. Reuter<sup>d</sup>, Thomas M. Ulbright<sup>e</sup>

World Journal of Urology (2018) 36:1891–1898  
<https://doi.org/10.1007/s00345-018-2288-5>

INVITED REVIEW



## Hereditary renal cell carcinoma syndromes: diagnosis, surveillance and management

Eamonn R. Maher<sup>1</sup>

Received: 23 February 2018 / Accepted: 31 March 2018 / Published online: 21 April 2018  
© The Author(s) 2018

### Abstract

**Purpose** Genetic factors have been implicated in the pathogenesis of renal cell carcinoma (RCC), with around 3% of cases having a family history. A greater knowledge of the genetics of inherited RCC has the potential to translate into novel therapeutic targets for sporadic RCC.

**Methods** A literature review was performed summarising the current knowledge on hereditary RCC diagnosis, surveillance and management.

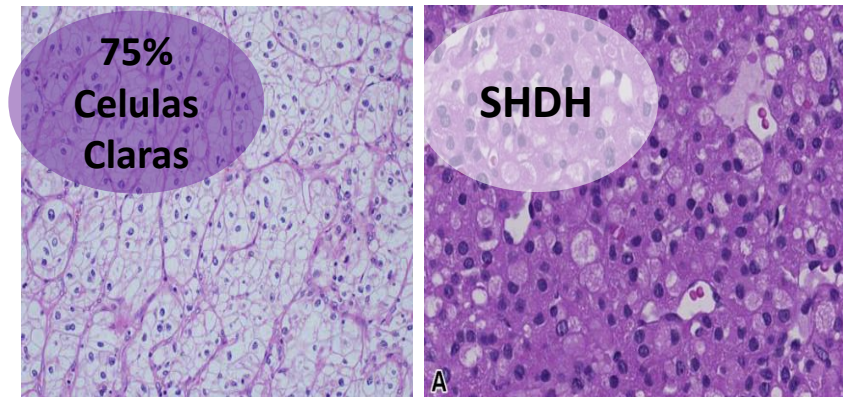
**Results** Familial RCC is usually inherited in an autosomal dominant manner, although inherited RCC may present without a polygynous family history. A number of familial RCC syndromes have been identified. Familial non-polygynous RCC is suggested



sarrollo Social  
la Nación

# Carcinoma de células renales:

- Clínica
- Anatomo-patológica
- Molecular
- Epidemiológica

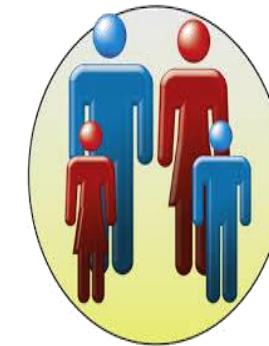


## Clasificación 2016 WHO

| Subtype                  | Clinical features   | Molecular/biologic   |
|--------------------------|---|--|
| Major subtypes           |   |  |
| Clear cell               | 75% of RCC—heterogeneous biologic behavior  | Loss of <i>vHL</i> in the majority   |
| Papillary type I         | Slow growing/less likely to metastasize   | <i>MET</i> alterations; chromosomal gains  |
| Papillary type II        | Often aggressive course, but some oncocytic; multiple molecular entities                | 3 molecular entities: <i>CDKN2A</i> silencing; <i>SETD2</i> , <i>BAP1</i> , <i>PBRM1</i> mutations; increased NRF2-antioxidant response pathway; CIMP phenotype—FH mutation—see below; <i>TFE3</i> fusions—see below |
| Chromophobe              | Indolent; rare metastases, but if so, often liver, often oligometastases                | Impairment of gamma-glutamyltransferase 1 activity   |
| Translocation            | Pediatric; young adults; 40% lymph node involvement; range of intermediate to poor risk | MT family translocations; previously t(6;11); Xp11; nuclear <i>TFE3</i> fusions  |
| Medullary                | Sickle trait; aggressive, widely metastatic; chemotherapy                               | Loss of <i>SMARCB1</i> (chromatin remodeler and tumor suppressor)  |
| Collecting duct          | Aggressive; chemotherapy, some targeted therapies                                       | IHC— <i>PAX8</i> and integrase interactor-1 (INI-1); unique transcriptomic profile—metabolic shift—impaired oxidoreductase activity, pyruvate metabolism, and TCA cycle  |
| 2016 New classifications |   |  |
| HLRCC                    | Hereditary/poor prognosis   | Fumarate hydratase mutation  |
| SDH deficient            | Hereditary/young adults   | Succinate dehydrogenase deficient—dysfunction of mitochondrial complex II  |
| Tubulocystic             | Indolent/oncocytoma-like; very rarely metastatic; present at lower grade and stage      | Downregulated non-coding miRNA expressions compared with papillary; ongoing research   |
| Acquired cystic          | Often indolent; arise in ESRD; calcium oxalate crystal deposition common                | Fewer unfavorable pathological features than other RCCs  |
| Clear cell papillary     | Low-grade clear cells arranged in papillae  | Coexpression of <i>CA9</i> , <i>HIF-1α</i> , <i>GLUT-1</i> ; absence of <i>vHL</i> gene alterations  |

Akhtar et al. *Adv Anat Pathol* Volume 00, Number 00, 2018

Esporádico 50-60 años



Heredofamiliares ≥45

2-5%

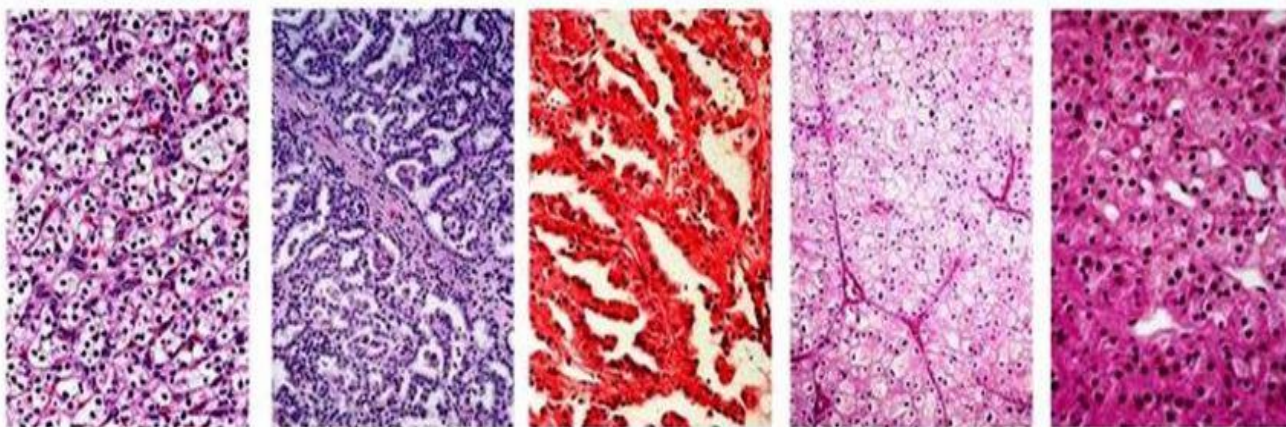
Dutcher JP. *J Investig Med* 2019;67:1–10.

Moch, H et al. *European Urology* 70 (2016) 93–105

Maher E. *World Journal of Urology* (2018) 36:1891–1898

# Clasificación histológica-molecular del Cáncer Renal

Human Renal Epithelial Neoplasms



|       |                   |                        |                         |                   |                  |
|-------|-------------------|------------------------|-------------------------|-------------------|------------------|
| Type: | Clear Cell<br>75% | Papillary Type 1<br>5% | Papillary Type 2<br>10% | Chromophobe<br>5% | Oncocytoma<br>5% |
|-------|-------------------|------------------------|-------------------------|-------------------|------------------|

|                  |     |     |    |     |
|------------------|-----|-----|----|-----|
| Hereditary Gene: | VHL | Met | FH | BHD |
|------------------|-----|-----|----|-----|

|                |           |           |         |         |
|----------------|-----------|-----------|---------|---------|
| Sporadic Gene: | VHL (92%) | Met (13%) | Unknown | Unknown |
|----------------|-----------|-----------|---------|---------|

## ¿Cuándo debo Sospechar una forma heredo-familiar?



- Edad
- Bilateralidad
- Multifocalidad
- Antecedentes familiares

**Table 1** Overview of major hereditary renal cell cancer syndromes. Adapted from Menko and Maher [1]

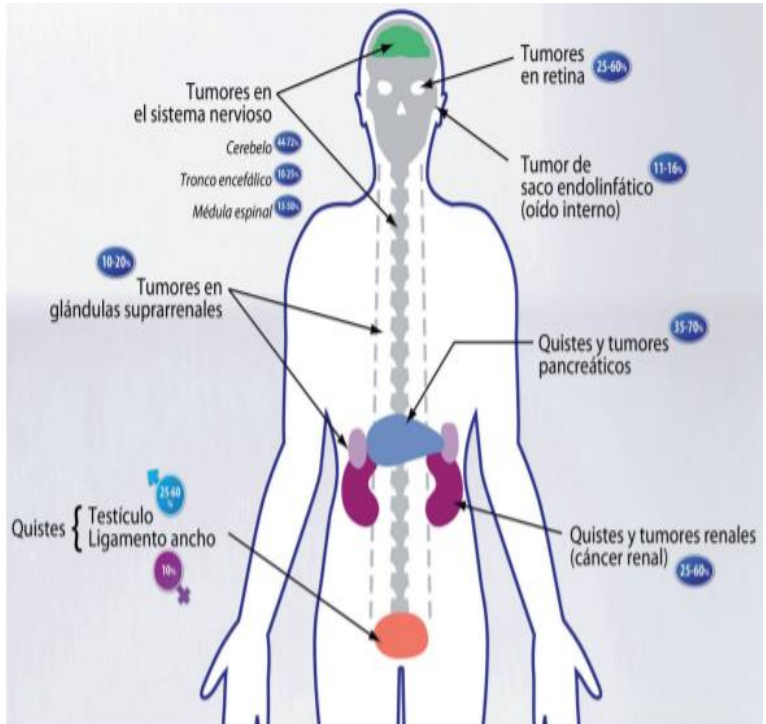
| Syndrome  | Inheritance | Gene  | Estimated RCC risk                    | Renal tumour histological subtypes                    | Functional consequences of mutation  |
|---|-------------|---|---------------------------------------|---|--|
| Von Hippel-Lindau disease                       | AD          | <i>VHL</i>  | 70%                                   | Clear cell RCC  | Activation of hypoxic response pathways  |
| Birt-Hogg-Dubé syndrome                         | AD          | <i>FLCN</i>   | 25%                                   | Various, but hybrid chromophobe/oncocytic RCC typical | Activation of the mTOR pathway   |
| Hereditary type 1 papillary RCC                 | AD          | <i>MET</i>  | Increased                             | Papillary type 1 RCC                                  | Activation of MET signalling pathway   |
| Hereditary leiomyomatosis and renal cell cancer | AD          | <i>FH</i>   | 15%                                   | Papillary type 2 RCC                                  | Activation of hypoxic response pathways<br>Epigenetic changes (e.g. DNA methylation)                                   |
| Succinate dehydrogenase subunit-related RCC     | AD          | <i>SDHB</i><br><i>SDHD</i> <sup>a</sup><br><i>SDHC</i><br><i>SDHA</i> | Highest risk (up to 10–15% with SDHB) | Various types, but specific features recognised       | Activation of hypoxic response pathways<br>Epigenetic changes (e.g. DNA methylation)                                   |
| Chromosome 3 translocations                     | Chromosomal | Chromosome 3  | Increased (up to 70%)                 | Clear cell RCC  | Loss of translocated chromosome 3p and somatic mutation of VHL leads to activation of hypoxic response pathways        |
| <i>PTEN</i> hamartoma tumour syndrome           | AD          | <i>PTEN</i>   | 5–35%                                 | Mostly papillary RCC                                  | Activation of phosphoinositide 3-kinase (PI3K) signalling pathway  |
| Hereditary <i>BAP1</i> tumour syndrome          | AD          | <i>BAP1</i>   | Increased                             | Clear cell  | <i>BAP1</i> inactivation associated with altered chromatin architecture, DNA damage response and cell cycle regulation |

Maher E. World Journal of Urology(2018) 36:1891-1898

# Von Hippel Lindau

- Gen VHL
- Locus
- 3p25.3
- 1/30.000

## Autosómico Dominante

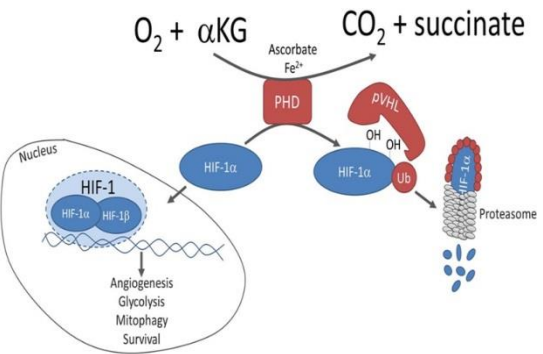


## Multifocal Bilateral

Nathanson K. Hereditary Renal Cancer, American Society of Nefrology, 2016

Carlo M. European Association of Urology , 2019

Schmidt L. Semn Oncol, 2016



- Cáncer renal células claras 60% 40-45a
- Relación genotipo-fenotipo
- Involucrado en tumores esporádicos
- TAC y RMN anual
- Regla de los 3 cm
- Drogas blanco: sunitinib, bevacizumab etc.

| Características clínicas |   |                              |
|--------------------------|---|------------------------------|
| Tipo I                   | Hemangioblastomas de retina<br>Hemangioblastomas en el Sistema Nervioso Central (SNC)<br>Cáncer renal<br>Tumores y quistes pancreáticos | Proteína truncada            |
| Tipo 2A                  | Feocromocitomas<br>Hemangioblastomas de retina<br>Hemangioblastomas del SNC   | Mutación de sentido alterado |
| Tipo 2B                  | Feocromocitomas<br>Hemangioblastomas de retina<br>Hemangioblastomas del SNC<br>Cáncer renal<br>Tumores y quistes pancreáticos           |                              |
| Tipo 2C                  | Sólo feocromocitomas  |                              |

## Carcinoma Renal Papilar tipo 1 HPRC

Autosómico Dominante

Gen: Protooncogen MET

Locus: 7q31 Receptor tirosinquinasa

Edad: 60-70 a.

Mutación: missense

Efecto: Activación vía Met kinasa

Bilateral

Multifocal

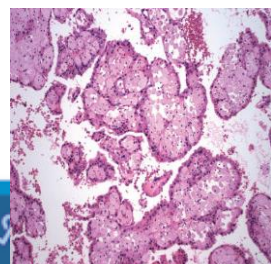
Mutación 15% de los esporádicos

Crecimiento lento

Hipovascular

Tratamiento: quirúrgico Regla de los 3 cm y terapias blanco cabozantinib

Vigilancia TAC y RMN



## Carcinoma Renal Papilar tipo 2 y leiomiomatosis

Autosómico y Dominante

Gen Supresor de tumores Fumarato hidratasa (FH)

Locus: 1q42-44

Edad: 20 a

- Leiomiomas uterinos
- Leiomiomas cutáneos
- Tumores renales 15% unilateral, multifocal y Mixtos
- IMHQ

**Alta agresividad**

**Alta capacidad de metastatizar**

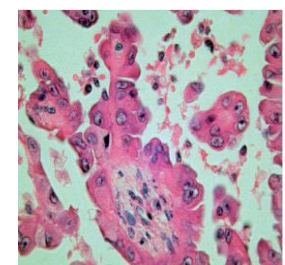
**Tratamiento: quirúrgico**

Terapia blanco: inmunoterapia

PARP i

Vigilancia desde 11 a

TAC RMN



Instituto Nacional  
del Cáncer

Secretaría de  
Gobierno de Salud



Ministerio de Salud y Desarrollo Social  
Presidencia de la Nación

Ugalde A., López J.I.

Actas Urol Esp vol.32 no.8 sep. 2008

## Enfermedad de Birt Hogg Dubé

Autosómico Dominante

Gen FLCN foliculina

Gen supresor de tumores

Locus 17p

Edad 30 a



Mutaciones: truncadas y missense

Fibrofoliculomas 80%

Quistes pulmonares y Neumotórax espontáneo 30%

Cáncer renal: papilar

células claras

mixtos

cromófobos

oncocitomas

Bilateral  
Multifocal

Seguimiento: TAC y RMN a partir de los 20 a

Tratamiento quirúrgico regla 3 cm

Terapia blanco: ejm everolimus

## Cáncer Renal asociado a SDHx

Autosómico Dominante

SDHB/C/D

Gen: Succinato deshidrogenasa

Diag: IMHQ

Paraganglioma

Feocromocitoma

Tu Gastrointestinales

Cáncer Renal multifocal y agresivo bilat.  
30-40 a

Tratamiento: quirúrgico+ drogas target

Prevalencia 0,1-0,2%

Riesgo CCR 15%

## Síndrome asociados a BAP1

Proteína asociada a BRCA1

Gen supresor de tumores 3p21.1

Cáncer renal 14% de células claras

muy agresivo, jóvenes

Multifocal, bilateral

Melanoma uveal y cutáneo, mesotelioma

Control TAC y RMN

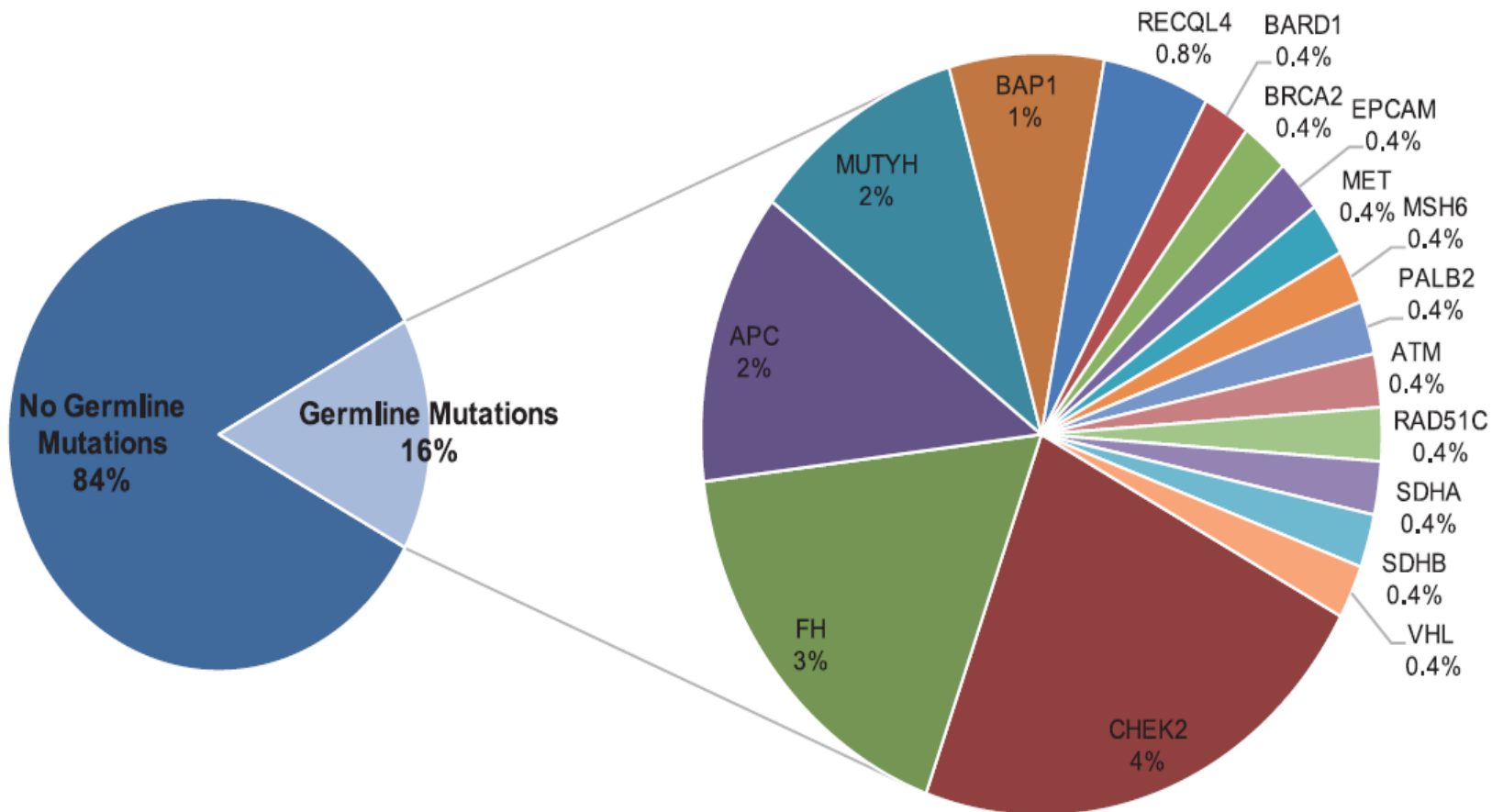
# Revisando...

## Diagnóstico 1º cáncer Renal

Birt Hoog Dubé  
Tumor células claras por translocación del cromosoma 3  
Cáncer papilar Hereditario tipo 1  
Leiomiotosis y Cáncer renal papilar tipo 2  
Von Hippel Lindau

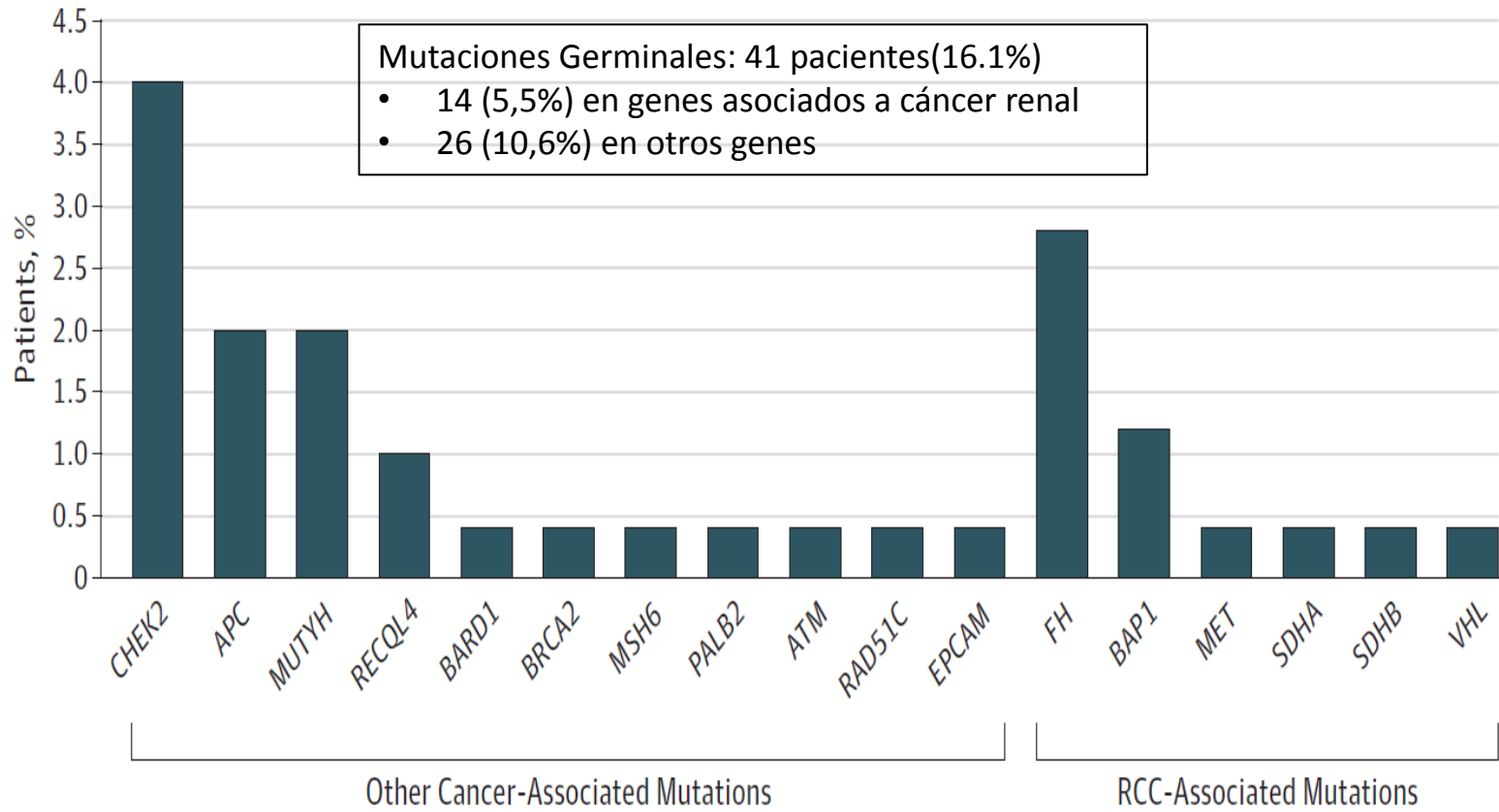
## Diagnóstico 2º cáncer Renal

Síndrome de predisposición tumoral relacionada a BAP1  
Cáncer renal por deficiencia de succinato  
deshidrogenasa  
Síndrome de Cowden  
Tuberous esclerosis  
Síndrome de Lynch



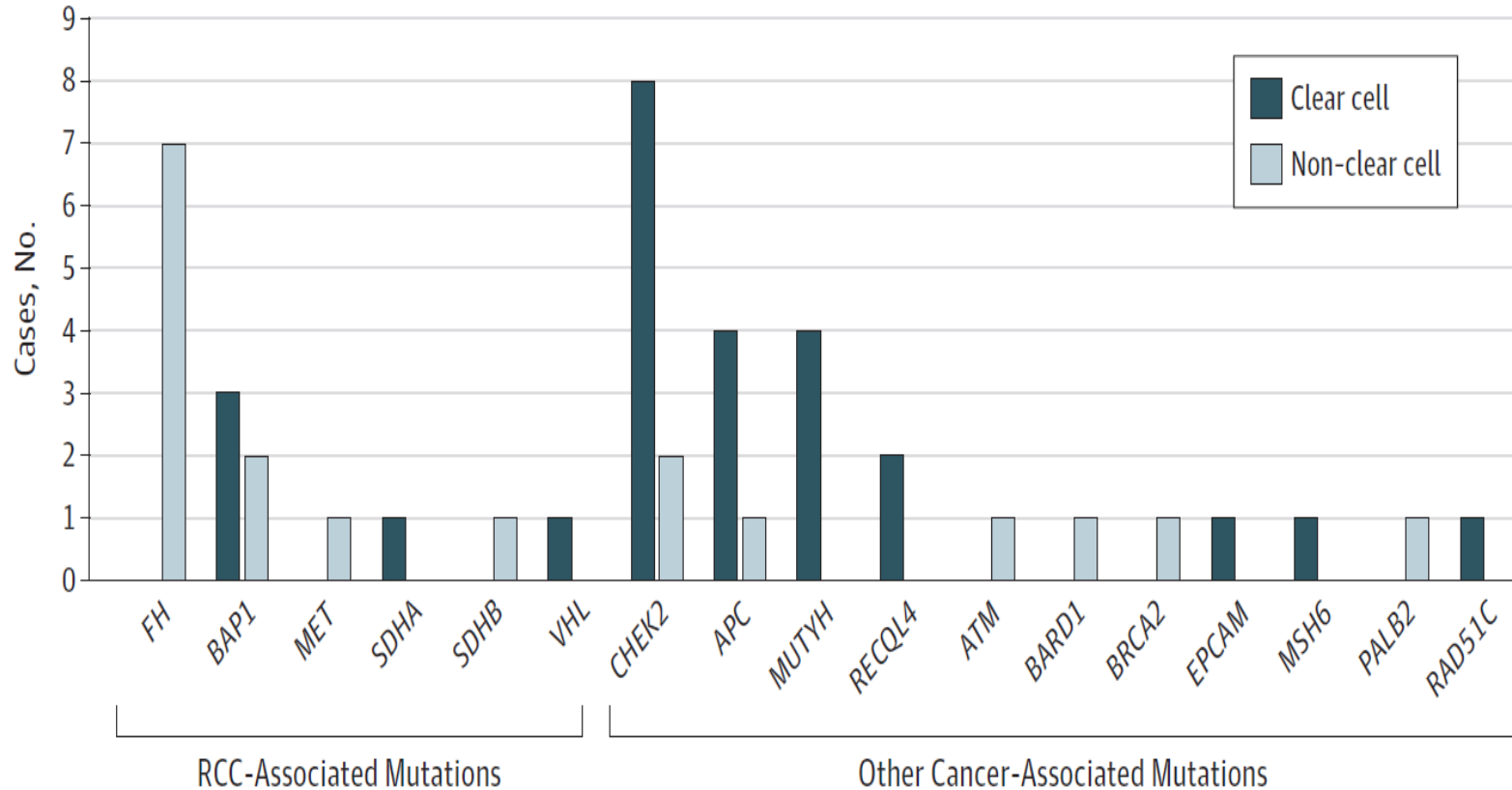
**Germline Mutations in Cancer-Susceptibility Genes in Patients with Advanced Renal Cell Carcinoma, Maria I. Carlo** 16º Simposio de cancer de riñon, Miami, 2017

267 pacientes  
Panel de 76  
genes



JAMA Oncology Published online July 5, 2018

# Tipo histológico asociado a tipo de cáncer renal



JAMA Oncology Published online July 5, 2018

# ¿Qué pedimos?

VHL  
MET  
FLCN  
FH  
SDHB/C/D  
TCS  
BAP1  
MitF



CHEK2  
APC  
MUYTH  
BRCA2  
ATM  
MSH6  
EPCAM  
BARD1

✓ PANELES

# CONCLUSIONES:

- Adecuada selección de pacientes candidatos
- Interpretación de resultados posibles
- Evaluar la importancia del estudio molecular
- Impacto sobre el paciente y la familia
- Asesoramiento genético

# Referencias

- Carlo et al., Familial Kidney Cancer: Implications of New Syndromes and Molecular Insights. *Eur Urol* (2019), <https://doi.org/10.1016/j.eururo.2019.06.015>
- Eamonn R. Maher, Hereditary renal cell carcinoma syndromes: diagnosis, surveillance and management, *World Journal of Urology* (2018) 36:1891–1898 <https://doi.org/10.1007/s00345-018-2288-5>
- Thomas J. Mitchell, Sabrina H. Rossi, Tobias Klatte, Grant D. Stewart, Genomics and clinical correlates of renal cell carcinoma, *World Journal of Urology* (2018) 36:1899–1911 <https://doi.org/10.1007/s00345-018-2429-x>
- Emma R Woodward, Steven C Clifford, Dewi Astuti, Nabeel A Affara, Eamonn R Maher, Familial clear cell renal cell carcinoma (FCRC): clinical features and mutation analysis of the *VHL*, *MET*, and *CUL2* candidate genes, *J Med Genet* 2000;37:348–353
- Mohammed Akhtar, Issam A. Al-Bozom, and Turki Al Hussain, Molecular and Metabolic Basis of Clear Cell Carcinoma of the Kidney, *Adv Anat Pathol* 2018;00:000–000
- Martin J. Magers, Aaron M. Udager, Rohit Mehra, MiT Family Translocation-Associated Renal Cell Carcinoma, *Arch Pathol Lab Med—Vol 139*, October 2015
- Aashil A Batavia, Peter Schraml & Holger Moch, Clear cell renal cell carcinoma with wild-type von Hippel-Lindau gene: a non-existent or new tumour entity?, *Histopathology* 2019, 74, 60–67. DOI: 10.1111/his.13749
- Carlo MI et al., Prevalence of Germline Mutations in Cancer Susceptibility Genes in Patients With Advanced Renal Cell Carcinoma, *JAMA Oncol.* doi:10.1001/jamaoncol.2018.1986, Published online July 5, 2018.
- Janice P Dutcher, Update on the biology and management of renal cell carcinoma, *J Investig Med* 2019;67:1–10. doi:10.1136/jim-2018-000918
- Mandelker D, et al. Mutation Detection in Patients With Advanced Cancer by Universal Sequencing of Cancer-Related Genes in Tumor and Normal DNA vs Guideline-Based Germline Testing, *JAMA*. 2017;318(9):825-835. doi:10.1001/jama.2017.11137
- Stratton et al., Outcome of Genetic Evaluation of Kidney Cancer Patients Referred for Suspected Hereditary Cancer Syndromes, *Urol Oncol*. 2016 May ; 34(5): 238.e1–238.e7. doi:10.1016/j.urolonc.2015.11.021.